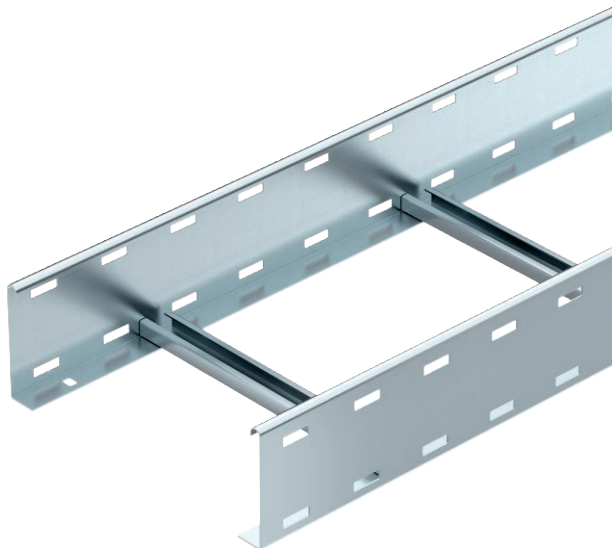


List technických údajů

Kabelový žebřík LG 110, 3 m VS

Výr. č. 6216432



Kabelový žebřík s výškou bočnice 110 mm a s přínýťovaným nahoru otevřeným profilem C příčky.



St	Ocel
FT	žárově zinkováno ponorem

Dodatkový text k výrobku - upozornění	Kabelový žebřík je dodáván složený. Vhodnou třmenovou příchytku typu 2056 najdete v části Systémy stoupacích žebříků.
Další text k výrobku 1	Magnetický útlum stínění bez víka 10 dB, s víkem 15 dB.

Kmenová data

Č. výr.	6216432
Typ	LG 115 VS 3 FT
Označení 1	Kabelový žebřík
Označení 2	děrovaný, s příčkou VS
Rozměr	110x500x3000
Materiál	Ocel
Zkratka materiálu	St
Povrch	Žárově zinkováno ponorem
Povrch podle DIN	DIN EN ISO 1461
Povrch zkratka	FT
Nejmenší prodejní množství	3,00 m
Hmotnost	469,53 kg/100 m

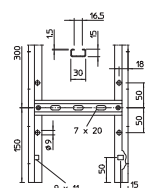
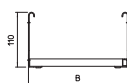
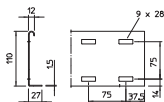
List technických údajů

Kabelový žebřík LG 110, 3 m VS

Výr. č. 6216432



Technické údaje

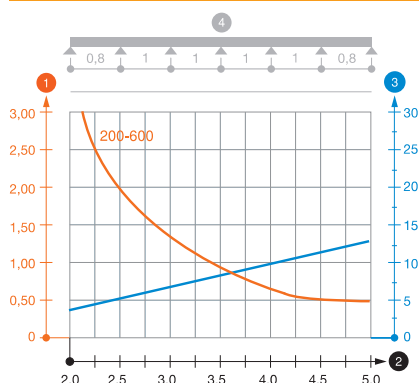


Délka	3.000,00 mm
Šířka	500,00 mm
Výška	110,00 mm
Výška bočnice	110,00 mm
Rozměr	110x500x3000 mm
Provedení příček	Profil děrovaný
Provedení bočnice	plochý profil
Upevnění příčky	Slepé nýtování
Vhodné pro zachování funkčnosti	<input type="checkbox"/>
Tloušťka podélníku	1,50 mm
Užitečný průřez	47.500,00 mm ²
Užitečný průřez	475,00 cm ²
Nerezová ocel, mořená	<input type="checkbox"/>
Děrování bočnice	<input checked="" type="checkbox"/>
Vzdálenost příček	300,00 mm
Provedení pro velká rozpětí	<input type="checkbox"/>

Dov. zatížení:

Vzdálenost podpěr 2,0 m	3,10 kN/m
Vzdálenost podpěr 2,5 m	2,00 kN/m
Vzdálenost podpěr 3,0 m	1,40 kN/m
Vzdálenost podpěr 3,5 m	0,90 kN/m
Vzdálenost podpěr 4,0 m	0,65 kN/m
Vzdálenost podpěr 4,5 m	0,50 kN/m
Vzdálenost podpěr 5,0 m	0,50 kN/m

Dov. zatížení:



Zatěžovací diagram kabelového žebříku typu LG 110 VS

- 1 Přípustné zatížení kabelových žlabů/žebříků v kN/m bez zatížení člověkem
 - 2 Rozpětí podpěr v m
 - 3 Průhyb bočnice v mm při dovolených kN/m
 - 4 Schéma zatížení při zkušební metodě
- Křivka zatížení s šířkou kabelového žlabu/žebříku v mm
— Křivka průhybu bočnice v závislosti na rozestupu mezi podepřením